

# 上节课内容回顾

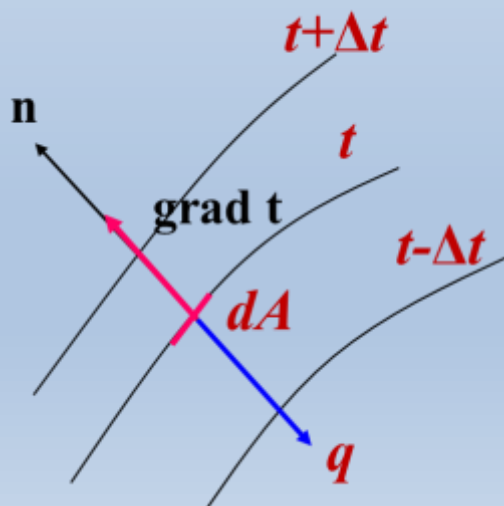
## 1、Fourier定律

### 均质各向同性材料导热的Fourier定律

$$q = -\lambda \text{grad } t$$

标量形式的Fourier定律表达式为：

$$q = -\lambda \frac{\partial t}{\partial n}$$



# 上节课内容回顾

## 2、导热微分方程及其简化

### 导热微分方程式

$$\rho c \frac{\partial t}{\partial \tau} = \left[ \frac{\partial}{\partial x} \left( \lambda \frac{\partial t}{\partial x} \right) + \frac{\partial}{\partial y} \left( \lambda \frac{\partial t}{\partial y} \right) + \frac{\partial}{\partial z} \left( \lambda \frac{\partial t}{\partial z} \right) \right] + \dot{\Phi}_V$$

(1) 物体无内热源:

$$\dot{\Phi}_V = 0$$

$$\frac{\partial t}{\partial \tau} = a \nabla^2 t$$

(2) 稳态导热:

$$\frac{\partial t}{\partial \tau} = 0$$

$$a \nabla^2 t + \frac{\dot{\Phi}_V}{\rho c} = 0$$

(3) 稳态导热、无内热源:

$$\nabla^2 t = 0, \quad \text{即}$$

$$\frac{\partial^2 t}{\partial x^2} + \frac{\partial^2 t}{\partial y^2} + \frac{\partial^2 t}{\partial z^2} = 0$$

# 上节课内容回顾

## 3、单值性条件

### (1) 第一类边界条件

给出边界上的温度分布及其随时间的变化规律：

$$t_w = f(x, y, z, \tau)$$

### (2) 第二类边界条件

给出边界上的热流密度分布及其随时间的变化规律：

$$\left( \frac{\partial t}{\partial n} \right)_w = -\frac{q_w}{\lambda}$$

### (3) 第三类边界条件

给出了与物体表面进行对流换热的流体的温度及表面传热系数：

$$-\lambda \left( \frac{\partial t}{\partial n} \right)_w = h(t_w - t_f)$$

# 9-2 稳态导热

## Steady-State Conduction

1. 无限大平壁导热 ✓
2. 圆筒壁导热 ✓
3. 同心球壁导热
4. 肋片导热 ✓
5. 多维导热
6. 接触热阻

### 一维稳态导热

温度只在一个空间方向变化的导热问题

# 一、通过平壁的稳态导热

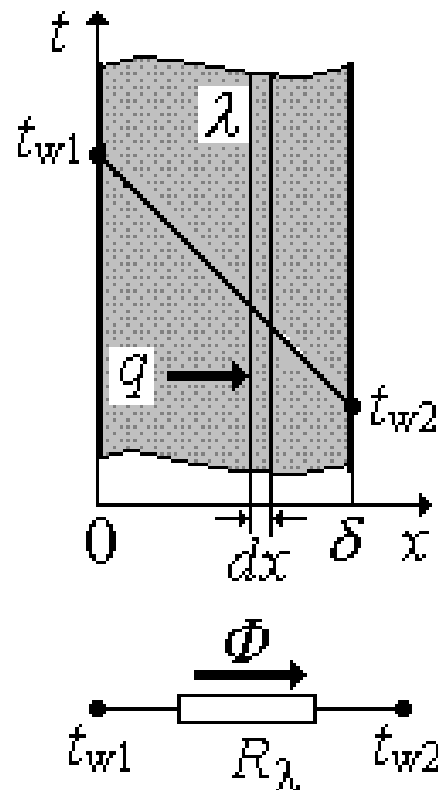
## 1、通过单层平壁的稳态导热

当平壁的两表面分别维持均匀恒定的温度时，平壁的导热为一维稳态导热。

假设：

表面面积为 $A$ 、厚度为 $\delta$ 、 $\lambda$ 为常数、无内热源，两侧表面分别维持均匀恒定的温度 $t_{w1}$ 、 $t_{w2}$ ，且 $t_{w1} > t_{w2}$ 。

选取坐标轴 $x$ 与壁面垂直,如图。



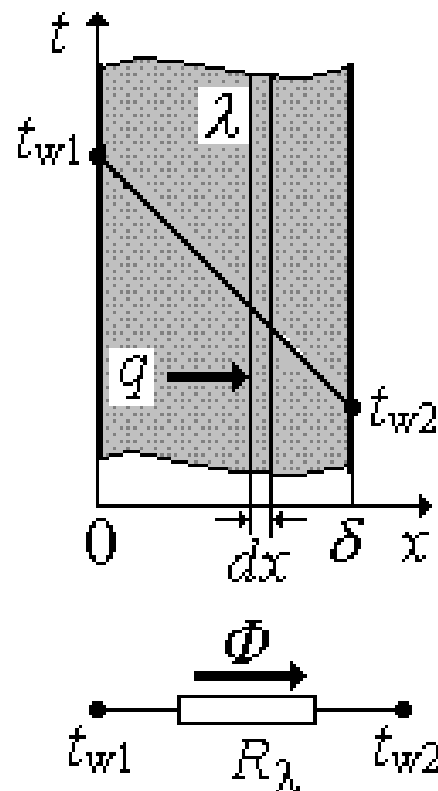
**导热微分方程式:**

$$\frac{\partial t}{\partial \tau} = a \left( \frac{\partial^2 t}{\partial x^2} + \frac{\partial^2 t}{\partial y^2} + \frac{\partial^2 t}{\partial z^2} \right) + \frac{\dot{\Phi}_V}{\rho c}$$

**数学模型:**

**定解条件:**

**推导:**



## 数学模型

$$\frac{d^2 t}{dx^2} = 0$$

$$x = 0, \quad t = t_{w1}$$

$$x = \delta, \quad t = t_{w2}$$

$$\frac{\partial^2 t}{\partial x^2} + \frac{\partial^2 t}{\partial y^2} + \frac{\partial^2 t}{\partial z^2} = 0$$

**求解结果：**  $t(x) = t_{w1} - \frac{t_{w1} - t_{w2}}{\delta} x$

可见，当 $\lambda$ 为常数时，平壁内温度分布曲线为直线，其斜率为

$$\frac{dt}{dx} = -\frac{t_{w1} - t_{w2}}{\delta}$$

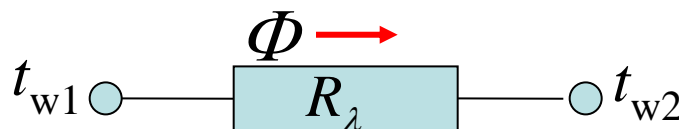
由傅立叶定律可得

$$q = -\lambda \frac{dt}{dx} = \lambda \frac{t_{w1} - t_{w2}}{\delta}$$

通过整个平壁的热流量为  $\Phi = Aq = A\lambda \frac{t_{w1} - t_{w2}}{\delta}$

导热热阻

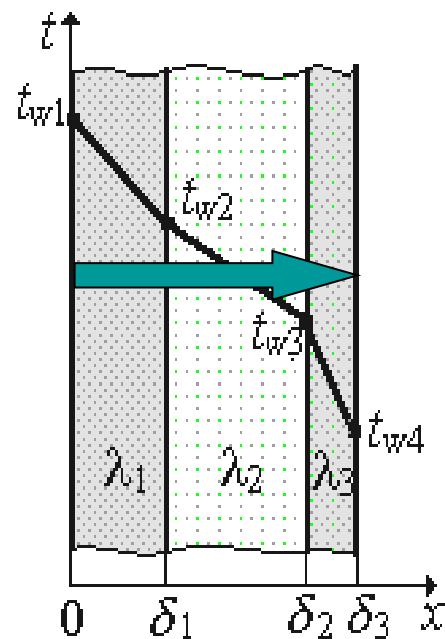
$$R_{\lambda} = \frac{\delta}{A\lambda}$$



## 2、多层平壁的稳态导热

以三层平壁为例，假设：

- 各层厚度分别为 $\delta_1$ 、 $\delta_2$ 、 $\delta_3$ ，各层材料的导热系数分别为 $\lambda_1$ 、 $\lambda_2$ 、 $\lambda_3$ ，且分别为常数；
- 各层之间接触紧密，相互接触的表面具有相同的温度；
- 平壁两侧外表面分别保持均匀恒定的温度 $t_{w1}$ 、 $t_{w4}$ 。



通过此三层平壁的导热为稳态导热，各层的热流量相同。



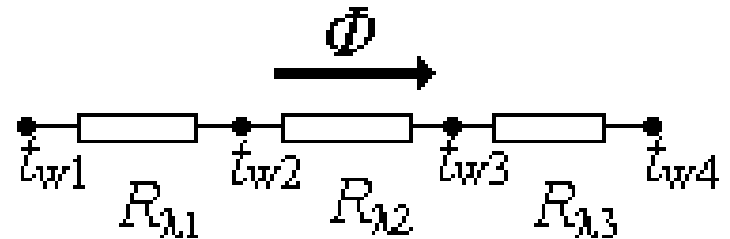
总导热热阻为各层导热热阻之和，由单层平壁稳态导热的计算公式可得

$$\Phi = \frac{t_{w1} - t_{w4}}{R_{\lambda 1} + R_{\lambda 2} + R_{\lambda 3}} = \frac{t_{w1} - t_{w4}}{\frac{\delta_1}{A\lambda_1} + \frac{\delta_2}{A\lambda_2} + \frac{\delta_3}{A\lambda_3}}$$

### 三层平壁稳态导热的热阻网络

#### $n$ 层平壁的稳态导热

$$\Phi = \frac{t_{w1} - t_{w(n+1)}}{\sum_{i=1}^n R_{\lambda i}}$$



利用热阻的概念，可以很容易求得通过多层平壁稳态导热的热流量，进而求出各层间接触面的温度。

## 例9-2

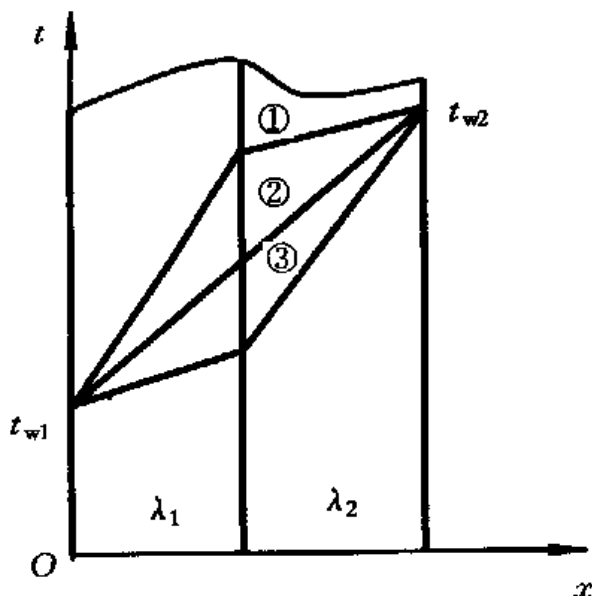
如图所示的双层平板中，导热系数 $\lambda_1$ 、 $\lambda_2$ 为定值，假定过程为稳态，试分析图中温度分布曲线所对应的 $\lambda_1$ 、 $\lambda_2$ 的相对大小。

**解：** 由于为稳态导热，三种情况热流量分别为常数，即

$$\Phi = -\lambda A \frac{dt}{dx} = \text{const}$$

$$(1): \left| \frac{dt}{dx} \right|_1 > \left| \frac{dt}{dx} \right|_2 \Rightarrow \lambda_1 < \lambda_2 \quad (2): \left| \frac{dt}{dx} \right|_1 = \left| \frac{dt}{dx} \right|_2 \Rightarrow \lambda_1 = \lambda_2$$

$$(3): \left| \frac{dt}{dx} \right|_1 < \left| \frac{dt}{dx} \right|_2 \Rightarrow \lambda_1 > \lambda_2$$



### 3、有内热源平壁的一维稳态导热

如果平壁两侧表面分别保持均匀恒定的温度 $t_{w1}$ 、 $t_{w2}$ ，平壁内具有均匀分布的内热源，强度为 $\dot{\Phi}$ ，平壁材料的导热系数 $\lambda$ 为常数，则平壁一维稳态导热的数学模型为

导热微分方程式：

$$\frac{\partial t}{\partial \tau} = a \left( \frac{\partial^2 t}{\partial x^2} + \frac{\partial^2 t}{\partial y^2} + \frac{\partial^2 t}{\partial z^2} \right) + \frac{\dot{\Phi}_V}{\rho c}$$

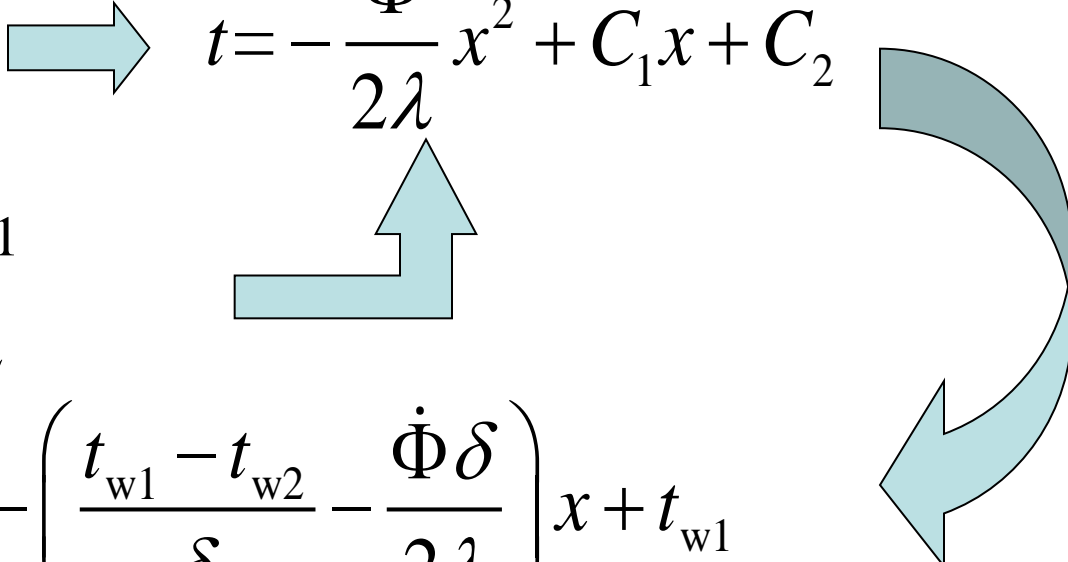
数学模型：

定解条件：

推导：

### 3、有内热源平壁的一维稳态导热

如果平壁两侧表面分别保持均匀恒定的温度 $t_{w1}$ 、 $t_{w2}$ ，平壁内具有均匀分布的内热源，强度为 $\dot{\Phi}$ ，平壁材料的导热系数 $\lambda$ 为常数，则平壁一维稳态导热的数学模型为

$$\left\{ \begin{array}{l} \frac{\partial^2 t}{\partial x^2} + \frac{\dot{\Phi}}{\lambda} = 0 \\ x = 0, \quad t = t_{w1} \\ x = \delta, \quad t = t_{w2} \end{array} \right. \Rightarrow t = -\frac{\dot{\Phi}}{2\lambda} x^2 + C_1 x + C_2$$

$$t = -\frac{\dot{\Phi}}{2\lambda} x^2 - \left( \frac{t_{w1} - t_{w2}}{\delta} - \frac{\dot{\Phi}\delta}{2\lambda} \right) x + t_{w1}$$

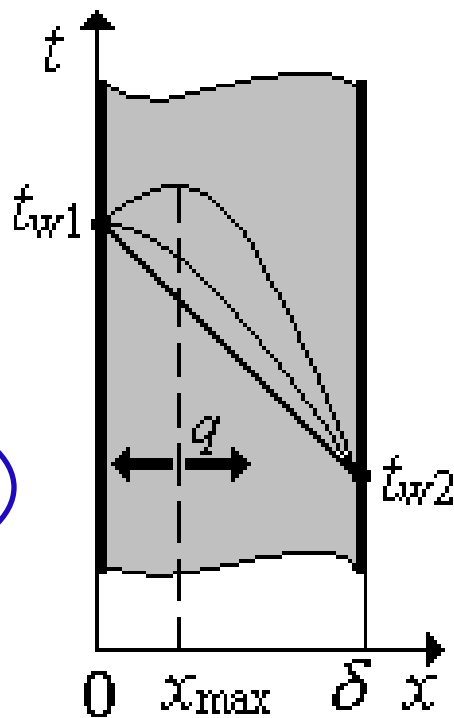
可见，壁内的温度分布为抛物线。

通常  $\dot{\Phi} > 0$  , 所以温度分布曲线向上弯曲, 并且  $\dot{\Phi}$  愈大, 弯曲得愈厉害, 当大于一定数值后, 温度分布曲线在壁内某处  $x_{\max}$  具有最大值  $t_{\max}$ , 壁内热流的方向从  $x_{\max}$  处指向两侧壁面。

根据傅里叶定律,

$$\left. \frac{dt}{dx} \right|_{x_{\max}} = 0$$

$$q = -\lambda \frac{dt}{dx} = \lambda \frac{t_{w1} - t_{w2}}{\delta} - \left( \frac{\delta}{2} - x \right) \dot{\Phi}$$



热流分布图?

可见, 热流密度不再像无内热源那样等于常数, 而是  $x$  的函数, 并且热流的方向不一定指向一个方向, 这取决于壁面温差  $(t_{w1} - t_{w2})$  以及内热源强度  $\dot{\Phi}$  的大小。

如果  $t_{w1} = t_{w2}$ ?

$$t = -\frac{\dot{\Phi}}{2\lambda} x^2 + \frac{\dot{\Phi}\delta}{2\lambda} x + t_{w1}$$

## 4、变导热系数问题

$$\frac{d}{dx} \left( \lambda \frac{dt}{dx} \right) = 0 \quad \lambda(t) = \lambda_0 (1 + bt)$$

$$x = 0 \quad t = t_{w1}$$

$$x = \delta \quad t = t_{w2}$$

**类似于前述方法，可求解此问题。也可采用对 Fourier 定律直接积分的方法：**

$$q = -\lambda \frac{dt}{dx} = -\lambda_0 (1 + bt) \frac{dt}{dx}$$

## 分离变量积分:

$$\int_0^{\delta} q dx = - \int_{t_{w1}}^{t_{w2}} \lambda_0 (1 + bt) dt = - \int_{t_{w1}}^{t_{w2}} \lambda dt$$

$$q = \frac{\bar{\lambda}}{\delta} (t_{w1} - t_{w2})$$

$$\bar{\lambda} = \lambda_0 (1 + b\bar{t}) = \lambda_0 \left[ 1 + \frac{b}{2} (t_{w1} + t_{w2}) \right]$$

在x处( $0 < x < \delta$ ):

$$q_x = \frac{\bar{\lambda}_x}{x} (t_{w1} - t)$$

**由于  $q = q_x$  , 所以:**

$$\begin{aligned} & (t_{w1} - t_{w2}) \lambda_0 \left[ 1 + \frac{b}{2} (t_{w1} + t_{w2}) \right] / \delta \\ &= (t_{w1} - t) \lambda_0 \left[ 1 + \frac{b}{2} (t_{w1} + t) \right] / x \end{aligned}$$

**整理可得:**

$$t + \frac{b}{2} t^2 = -\frac{1}{\delta} (t_{w1} - t_{w2}) \left[ 1 + \frac{b}{2} (t_{w1} + t_{w2}) \right] x + t_{w1} + \frac{b}{2} t_{w1}^2$$

**可见, 当平壁材料的导热系数随温度线性变化时,  
平壁内的温度分布为二次曲线。**



# 讨 论

$$t + \frac{b}{2}t^2 = -\frac{1}{\delta}(t_{w1} - t_{w2}) \left[ 1 + \frac{b}{2}(t_{w1} + t_{w2}) \right] x + t_{w1} + \frac{b}{2}t_{w1}^2$$

$$\frac{d^2t}{dx^2} = -\frac{b}{1+bt} \left( \frac{dt}{dx} \right)^2 = -\frac{b}{\lambda / \lambda_0} \left( \frac{dt}{dx} \right)^2 \quad q = -\lambda_0(1+bt) \frac{dt}{dx}$$

## ■ 平板导热的温度分布

$b > 0$  为上凸曲线;

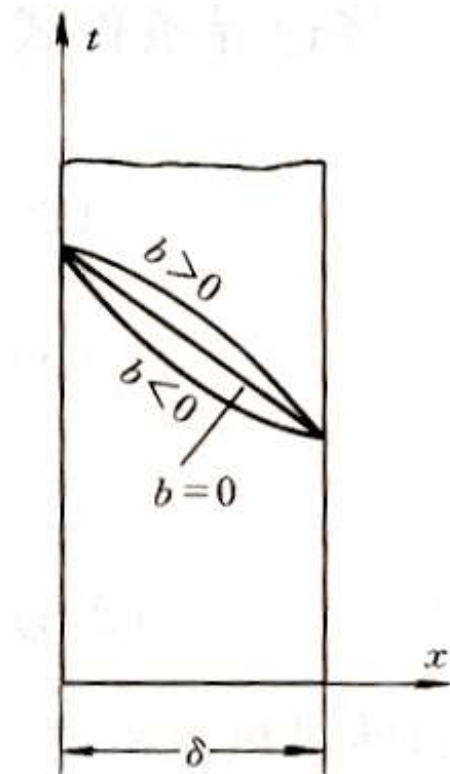
$b = 0$   $\lambda = c$  为直线;

$b < 0$  为下凹曲线。

## ■ 稳态导热求解方法:

(1) 微分方程的边值问题;

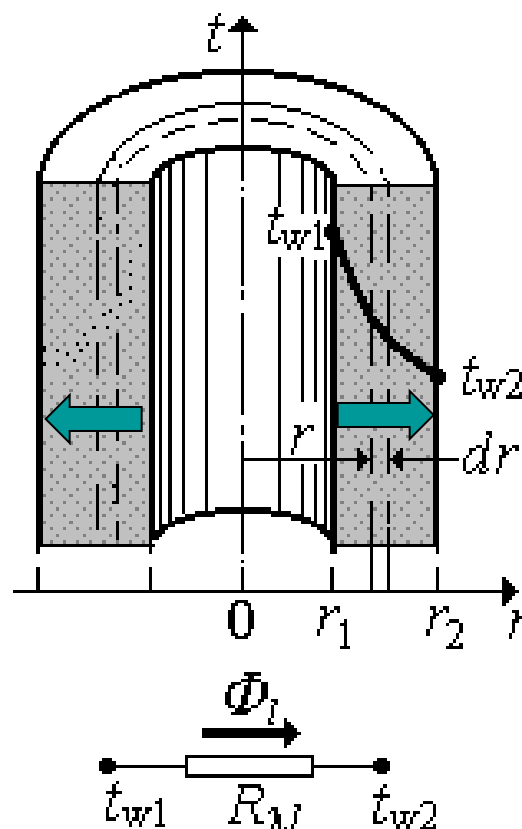
(2) Fourier定律直接积分。



## 二、通过圆筒壁的稳态导热

### 1、单层圆筒壁的稳态导热

- 1) 长圆筒壁，长度为 $l$ ，
- 2) 导热系数 $\lambda$ 为常数，
- 3) 无内热源 ( $\Phi_v = 0$ ) ，
- 4) 内、外壁面维持均匀恒定的温度 $t_{w1}$ ， $t_{w2}$ ，且 $t_{w1} > t_{w2}$ 。



为什么是下凹的曲线？

**导热微分方程式为：**

$$\frac{d}{dr} \left( r \frac{dt}{dr} \right) = 0$$

**推导：**

**第一类边界条件：**

$$r = r_1 \quad t = t_{w1}$$

$$r = r_2 \quad t = t_{w2}$$

**进行两次积分, 可得导热微分方程式的通解为：**

$$t = C_1 \ln r + C_2$$

$$t = t_{w1} - (t_{w1} - t_{w2}) \frac{\ln(r / r_1)}{\ln(r_2 / r_1)}$$

温度沿 $r$  方向的变化率为： $t = t_{w1} - (t_{w1} - t_{w2}) \frac{\ln(r / r_1)}{\ln(r_2 / r_1)}$

$$\frac{dt}{dr} = - \frac{t_{w1} - t_{w2}}{\ln(r_2 / r_1)} \frac{1}{r}$$

根据傅立叶定律,沿圆筒壁  $r$  方向的热流密度为:

$$q = -\lambda \frac{dt}{dr} = \frac{\lambda}{r} \frac{t_{w1} - t_{w2}}{\ln(r_2 / r_1)}$$

可见,径向热流密度不等于常数,而是 $r$ 的函数,随着 $r$ 的增加,热流密度逐渐减小。

**对于稳态导热, 通过整个圆筒壁的热流量不变。**

**$R_\lambda$ 为整个圆筒壁的导热热阻, K/W。**

$$\Phi = 2\pi r l \cdot q = \frac{t_{w1} - t_{w2}}{\frac{1}{2\pi\lambda l} \ln\left(\frac{r_2}{r_1}\right)} = \frac{t_{w1} - t_{w2}}{\frac{1}{2\pi\lambda l} \ln\left(\frac{d_2}{d_1}\right)} = \frac{t_{w1} - t_{w2}}{R_\lambda}$$

**单位长度圆筒壁的热流量:**

$$\Phi_l = \frac{\Phi}{l} = \frac{t_{w1} - t_{w2}}{\frac{1}{2\pi\lambda} \ln\left(\frac{d_2}{d_1}\right)} = \frac{t_{w1} - t_{w2}}{R_{\lambda l}}$$

**式中 $R_{\lambda l}$ 为单位长度圆筒壁的导热热阻, m·K/W**

**实际上, 根据傅立叶定律,**  
**将该式分离变量积分, 同样**  
**可求得上面的公式。**

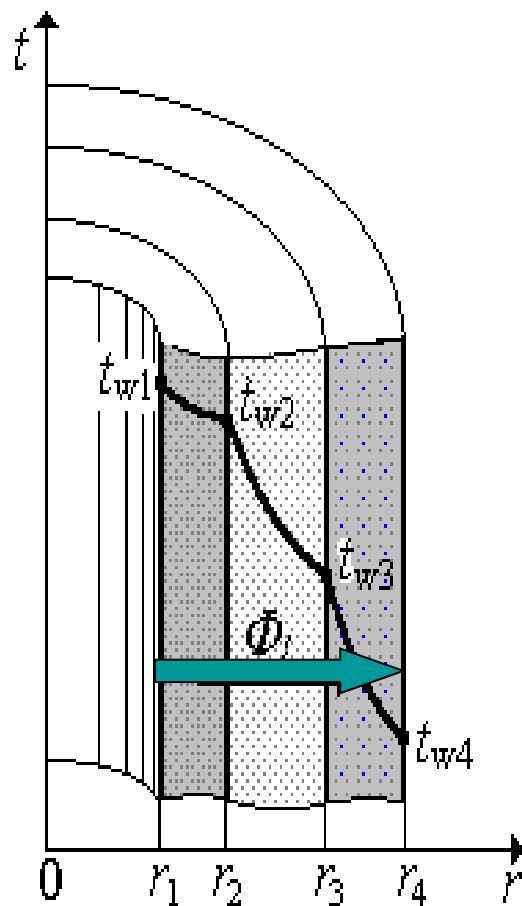
$$\Phi_l = -2\pi r \lambda \frac{dt}{dr}$$

## 2、多层圆筒壁的稳态导热

以三层圆筒壁为例，无内热源，各层的 $\lambda_1$ 、 $\lambda_2$ 、 $\lambda_3$ 分别为常数，内、外壁面维持均匀恒定的温度 $t_{w1}$ 、 $t_{w2}$ 。通过各层圆筒壁的热流量相等，总导热热阻等于各层导热热阻之和，

$$\Phi_l = \frac{t_{w1} - t_{w4}}{R_{\lambda1} + R_{\lambda2} + R_{\lambda3}}$$

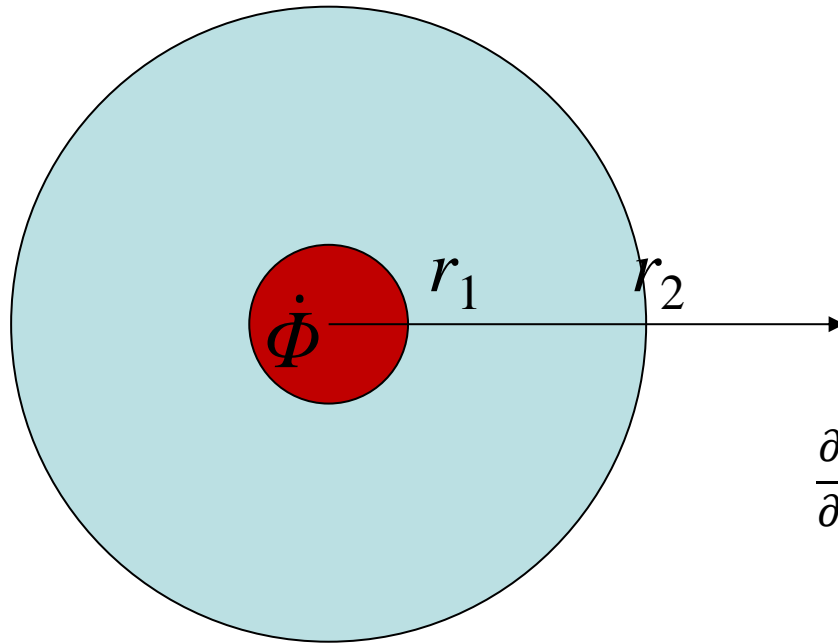
$$= \frac{t_{w1} - t_{w4}}{\frac{1}{2\pi\lambda_1} \ln\left(\frac{d_2}{d_1}\right) + \frac{1}{2\pi\lambda_2} \ln\left(\frac{d_3}{d_2}\right) + \frac{1}{2\pi\lambda_3} \ln\left(\frac{d_4}{d_3}\right)}$$



**对于 $n$ 层不同材料组成的多层圆筒壁的稳态导热，显然有**

$$\Phi_l = \frac{t_{w1} - t_{w(n+1)}}{\sum_{i=1}^n R_{\lambda li}} = \frac{t_{w1} - t_{w(n+1)}}{\sum_{i=1}^n \frac{1}{2\pi\lambda_i} \ln\left(\frac{d_{i+1}}{d_i}\right)}$$

# 随堂练习



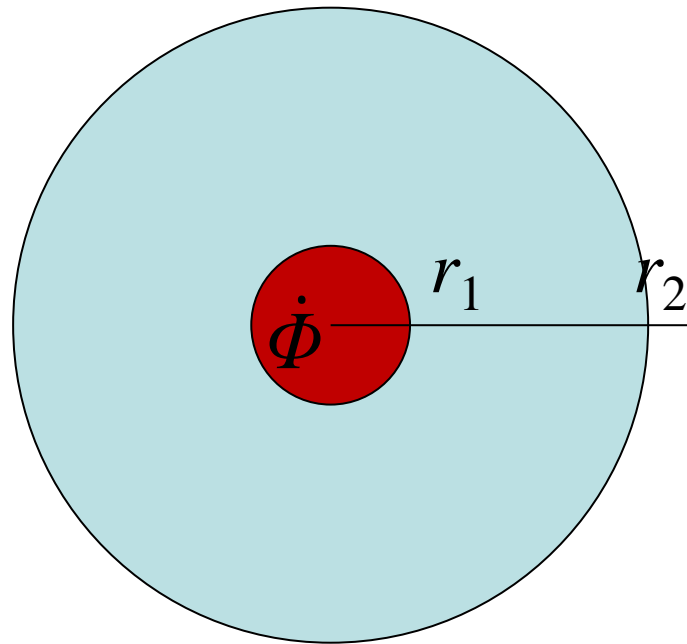
$$\frac{\partial t}{\partial \tau} = a \left[ \frac{\partial}{\partial r} \left( r \frac{\partial t}{\partial r} \right) + \frac{1}{r^2} \frac{\partial^2 t}{\partial \varphi^2} + \frac{\partial^2 t}{\partial z^2} \right] + \frac{\dot{\Phi}_V}{\rho c}$$

无限大圆柱体 ( $\lambda=10 \text{ W}/(\text{m}^\circ\text{C})$ ) , 红色区域 ( $r_1=1\text{m}$ ) 有内热源 ( $1000 \text{ W}/\text{m}^3$ ) , 求圆柱体内的温度分布

- ① 外侧 ( $r_2=3\text{m}$ ) 为第一类边界 ( $100^\circ\text{C}$ )
- ② 外侧 ( $r_2=3\text{m}$ ) 为第三类边界 ( $t_f=20^\circ\text{C}$ ,  $10 \text{ W}/(\text{m}^2 \text{ }^\circ\text{C})$ )
- ③ 外侧 ( $r_2=3\text{m}$ ) 为第二类边界 ( $\sim \text{W}/\text{m}^2$ )



# 随堂练习



$$\frac{\partial t}{\partial \tau} = a \left[ \frac{\partial}{\partial r} \left( r \frac{\partial t}{\partial r} \right) + \frac{1}{r^2} \frac{\partial^2 t}{\partial \varphi^2} + \frac{\partial^2 t}{\partial z^2} \right] + \frac{\dot{\Phi}_V}{\rho c}$$

无限大圆柱体 (  $\lambda=10$   
W/(m °C) ) , 红色区域  
(  $r_1=1$ m ) 有内热源 (  $1000$   
W/m<sup>3</sup> )

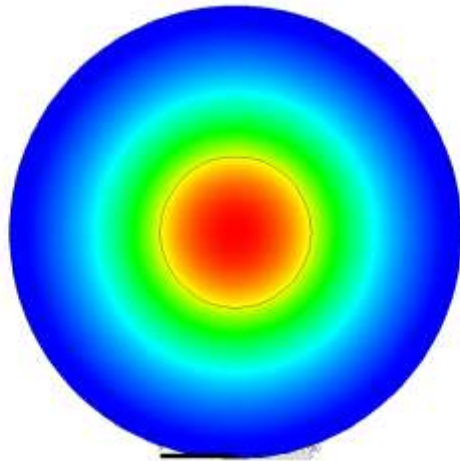
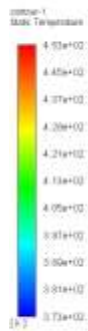
**数学模型:**

**定解条件:**

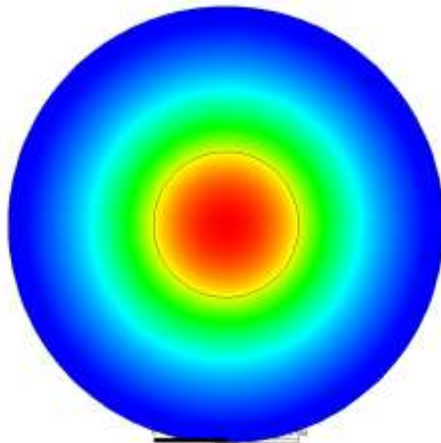
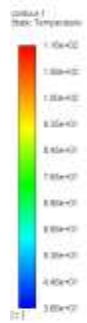
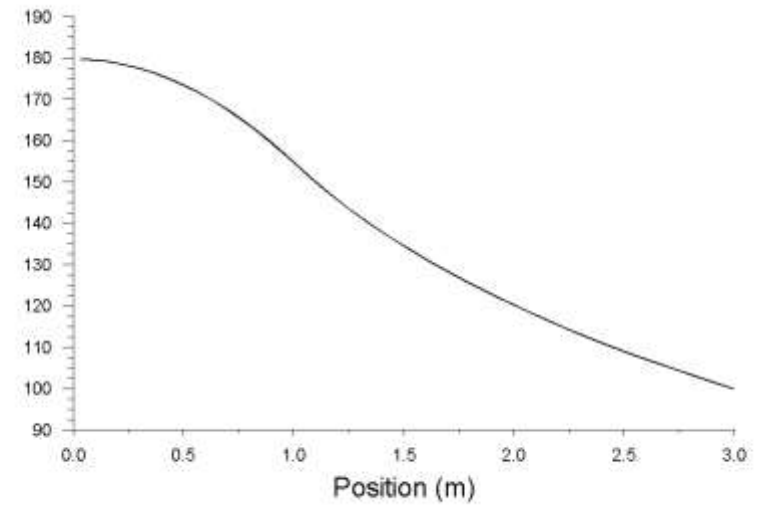
**推导:**

# 随堂练习

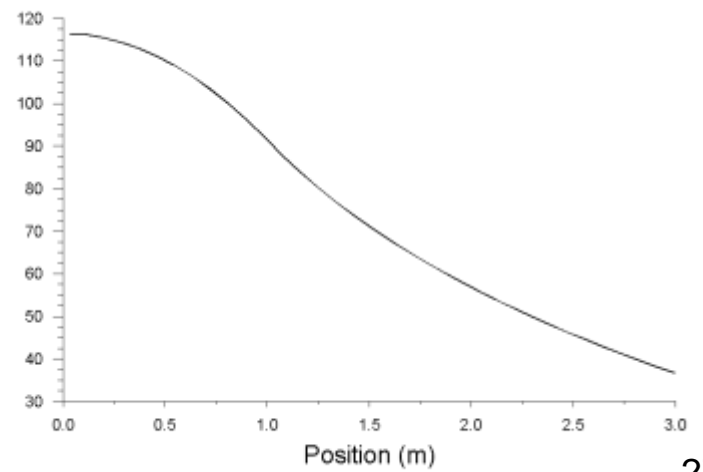
**推导：**



Static  
Temperature  
(c)



Static  
Temperature  
(c)



### 三、肋片的稳态导热

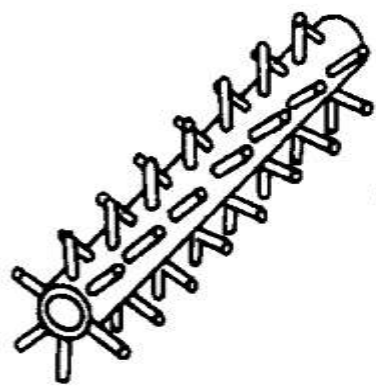
## Steady-state Conduction through Fins

- 传热过程中，当两侧流体换热能力不匹配时，有必要强化换热能力较差一侧流体的换热，最终实现传热过程的强化。

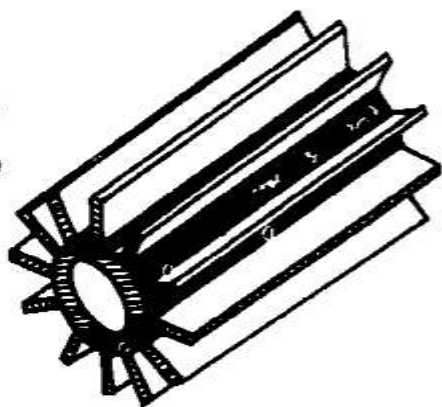
根据牛顿冷却公式： $\Phi = A h (t_w - t_f)$

增大对流换热量有三条途径：

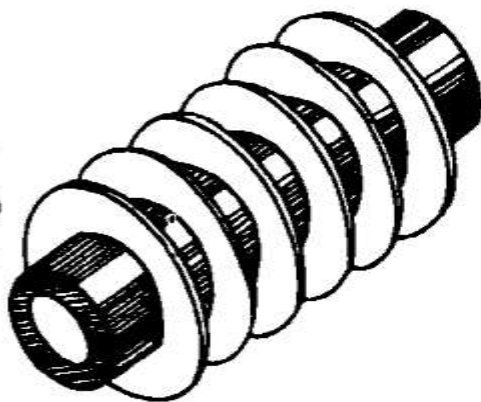
1. 增加换热面积 $A$ ； **加装肋片**
2. 加大对流换热表面传热系数 $h$ ；
3. 加大换热温差 $(t_w - t_f)$ 。



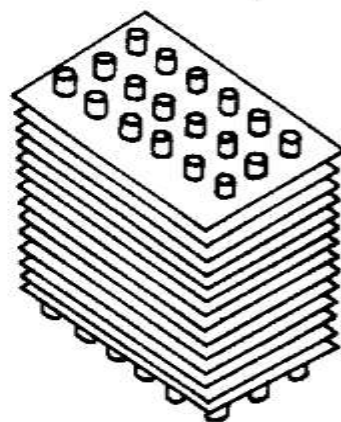
(a) 针肋



(b) 直肋



(c) 环肋



(d) 大套片

# 毛细热管换热器



*Multiple Heat Pipe  
Technology*



*High-Power  
Heat Pipe  
Technology*



毛细热管

# 多通路微细通道带管式换热器

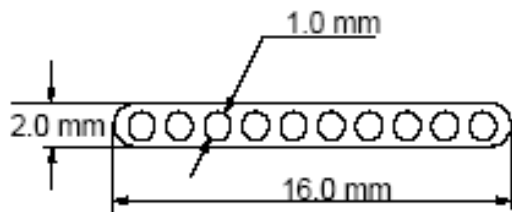
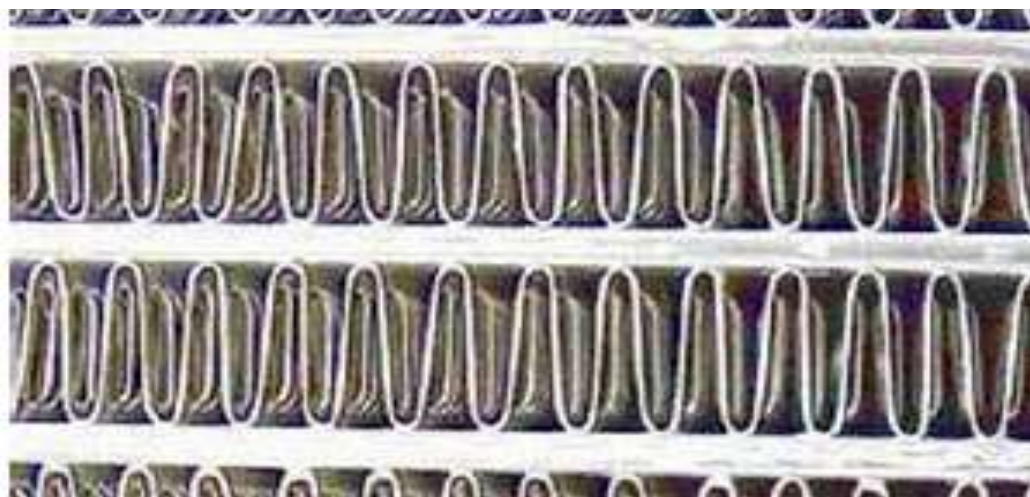


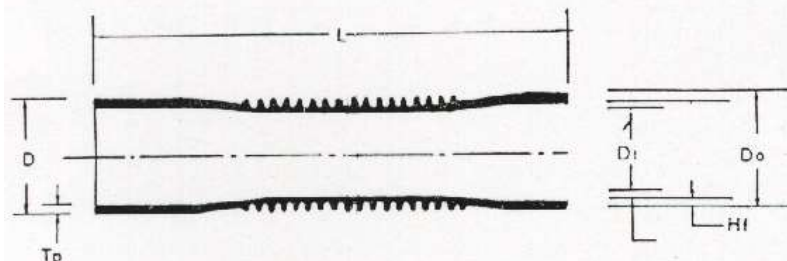
Figure 3.6 Microchannels from Hydro Aluminum





# 微肋管 (Microfin Tubes)

## 1. 轧丝管 FIN TUBE



单位: mm unit: mm

齿数 / 英寸 FIN/ INCH	头数 RIFLE	外径 D <sub>f</sub>	内径 D <sub>i</sub>	外径 D <sub>o</sub>	壁厚 T <sub>p</sub>	齿深 H <sub>f</sub>	长度 (L)
26	0; 6	15.88	11.4	15.7	1.4	1.2	长度根据需要 As your request
26	0; 6	19.05	14.1	18.7	1.4	1.2	
26	0; 6	18.8	14.0	18.5	1.4	1.2	
26	0; 10	22.23	16.7	22	1.6	1.0	
40	20	19	14.7	18.6	1.4	1.0	
40	10	22.23	17.3	21.9	1.4	1.0	

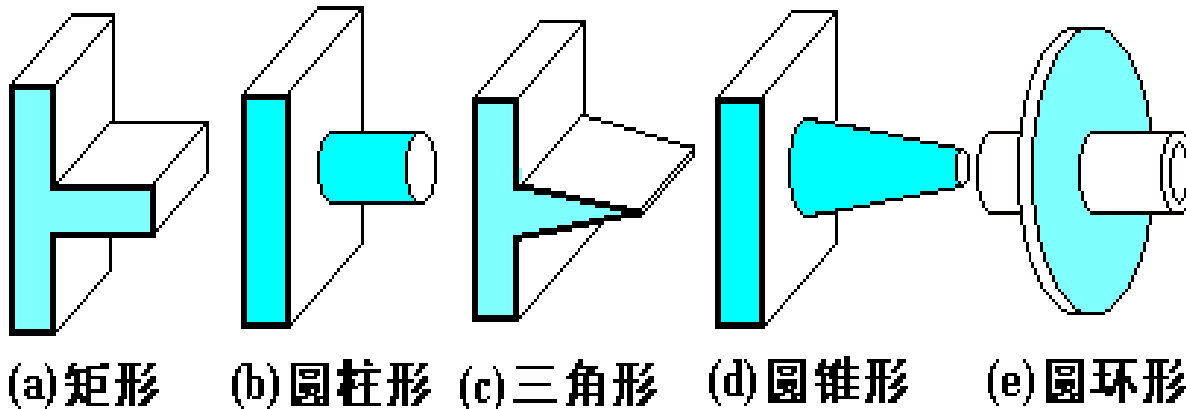




### 三、肋片的稳态导热

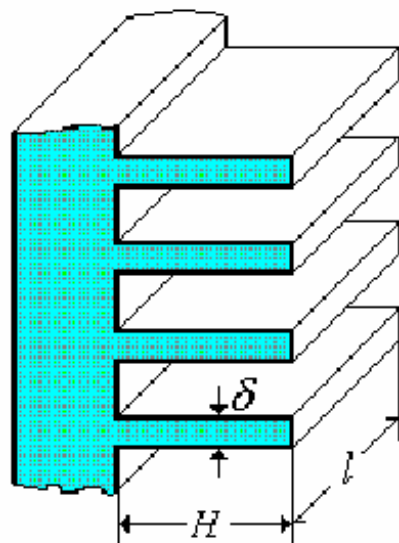
## Steady-state Conduction through Fins

- 当两侧流体对流换热系数相差较多时，换热表面**加装肋片**是强化传热的主要措施之一。
- 典型的肋片形式见下图：

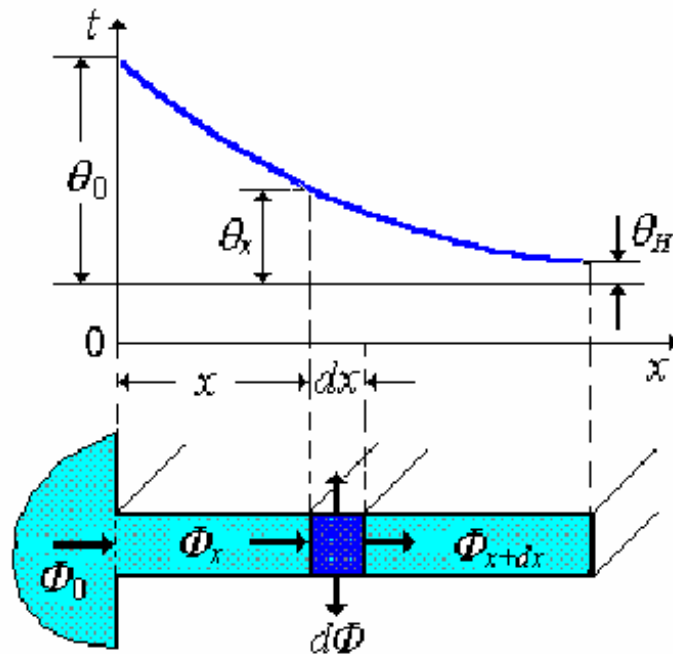


# 1、等截面直肋的稳态导热

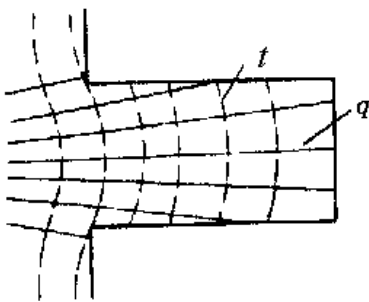
- 肋高度为 $H$
- 厚度为 $\delta$
- 宽度为 $l$
- 与高度方向垂直的横截面积为 $A = \delta l$
- 横截面的周长 $P = 2(l + \delta) \approx 2l$



(a)



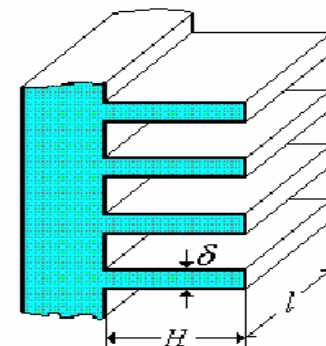
(b)



一维近似，近似程度与 $\delta$ 、 $\lambda$ 、 $h$ 有关。

## 假设:

- 肋片材料均匀，导热系数 $\lambda$ 为常数；
- 肋根部与肋基接触良好，温度一致；
- 肋片厚度方向的导热热阻 $\delta/\lambda$ 与肋表面对流换热热阻 $1/h$ 相比很小，可以忽略。肋片的温度只沿高度方向发生变化，即可以近似为一维导热；
- 肋表面各处与流体之间对流换热系数 $h$ 都相同；
- 忽略肋片端面的散热量，即认为肋端面绝热。



热量从肋基导入肋片，然后从肋根导向肋端，沿途不断有热量从肋的侧面以对流换热的方式散给周围的流体，这种情况可以当作肋片具有**负内热源（热沉）**来处理（将微元体表面的对流换热等效为微元体的**热沉**，见教材）。

# 导热微分方程

$$\Phi_x - \Phi_{x+dx} = d\Phi_c$$

$$\Phi_{x+dx} = \Phi_x + \frac{d\Phi_x}{dx} dx =$$

$$\Phi_x + \frac{d\left(-\lambda A \frac{dt}{dx}\right)}{dx} dx = \Phi_x - \lambda A \frac{d^2 t}{dx^2} dx$$

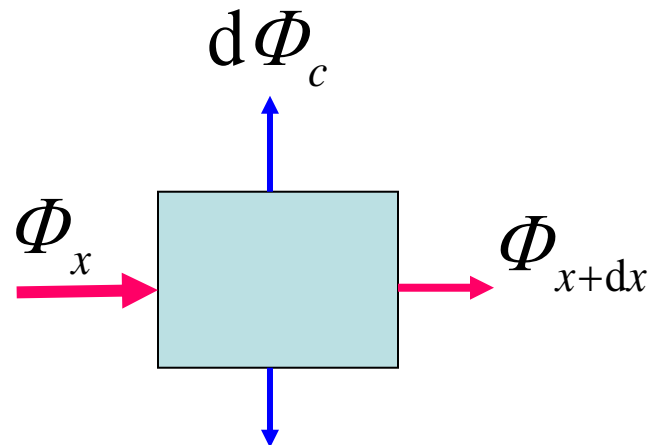
$$d\Phi_c = hP dx (t - t_f)$$

边界条件为:  $x = 0, \quad t = t_0$

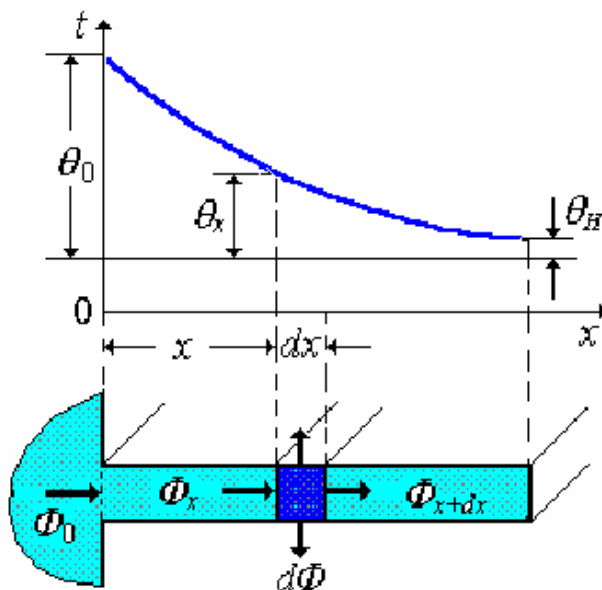
负内热源法?

$$d\dot{\Phi}_c = \frac{hP dx (t - t_f)}{dx A} = \frac{hP (t - t_f)}{A}$$

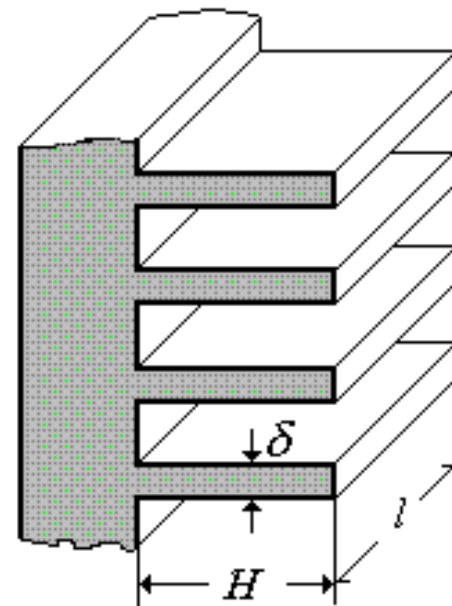
$$x = H, \quad \frac{dt}{dx} = 0$$



$$\lambda A \frac{d^2 t}{dx^2} = hP (t - t_f)$$



**令:**  $m = \sqrt{\frac{hP}{\lambda A_c}} \approx \sqrt{\frac{h \cdot 2l}{\lambda \cdot \delta l}} = \sqrt{\frac{2h}{\lambda \delta}}$



$\theta = t - t_{\infty}$  称为过余温度。

数学模型变为

$$\begin{cases} \frac{d^2 \theta}{dx^2} - m^2 \theta = 0 \\ x = 0, \quad \theta = \theta_0 \\ x = H, \quad \frac{d\theta}{dx} = 0 \end{cases}$$

$$\Rightarrow \theta = C_1 e^{mx} + C_2 e^{-mx}$$

$$\theta = \theta_0 \frac{e^{m(H-x)} + e^{-m(H-x)}}{e^{mH} + e^{-mH}}$$

双曲余弦函数

$$\cosh x = \frac{e^x + e^{-x}}{2}$$

$$\theta = \theta_0 \frac{\cosh[m(H-x)]}{\cosh(mH)}$$

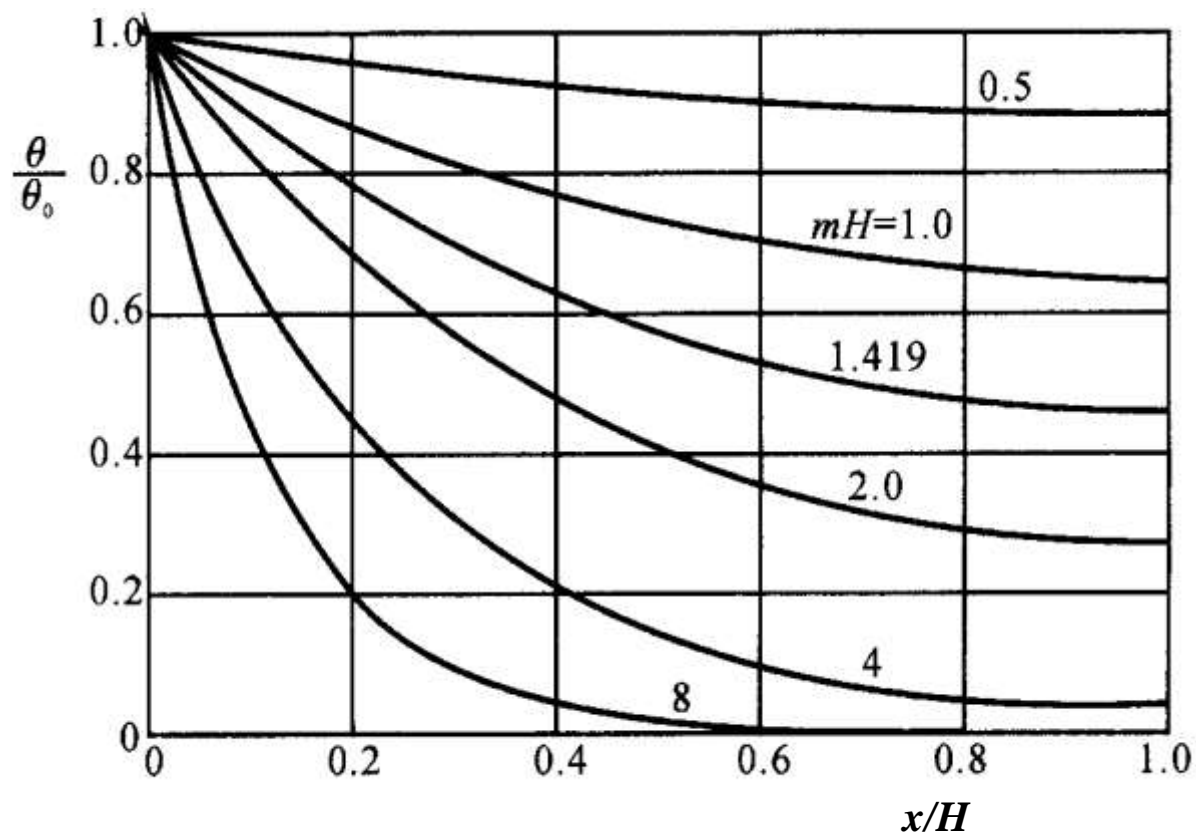
肋片的过余温度从肋根开始沿高度方向按双曲余弦函数的规律变化。

$$\theta = \theta_0 \frac{\cosh[m(H-x)]}{\cosh(mH)} \quad \longrightarrow \quad \frac{\theta}{\theta_0} = \frac{\cosh[mH(1-x/H)]}{\cosh(mH)}$$

肋片的过余温度沿高度方向逐渐降低， **$mH$** 较小时，温度降低缓慢； **$mH$** 较大时，温度降低较快。

$$mH = \sqrt{\frac{2h}{\lambda\delta}} \cdot H$$

一般取 **$0.7 < mH < 2$**



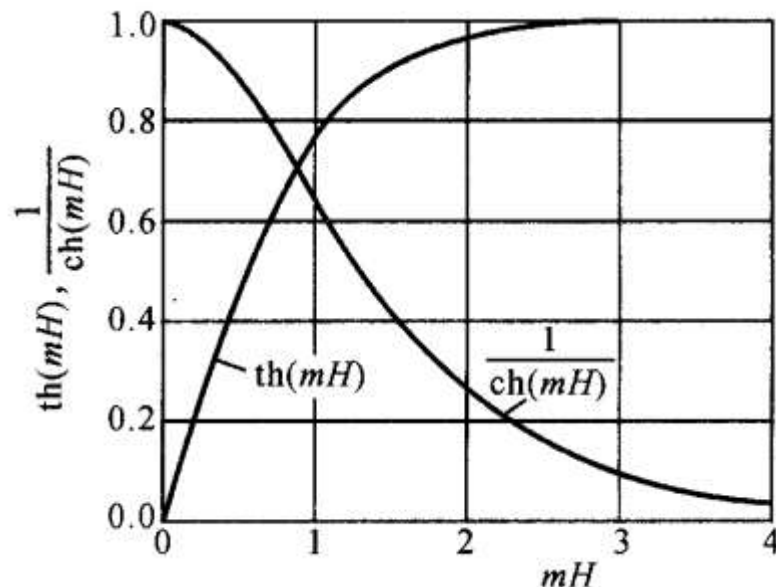
## 肋端的过余温度

$$\theta_H = \theta_0 \frac{1}{\cosh(mH)}$$

肋端过余温度随 $mH$ 增加而降低。  
在稳态情况下，肋片散热量应该  
等于从肋根导入的热量

$$\begin{aligned} \Phi &= -\lambda A_c \left. \frac{d\theta}{dx} \right|_{x=0} \\ &= A_c \lambda \theta_0 \left. \frac{m \sinh[m(H-x)]}{\cosh(mH)} \right|_{x=0} = A_c \lambda m \theta_0 \frac{\sinh(mH)}{\cosh(mH)} \\ &= A_c \lambda m \theta_0 \tanh(mH) = \sqrt{h \lambda P A_c} \theta_0 \tanh(mH) \quad m = \sqrt{\frac{hP}{\lambda A_c}} \end{aligned}$$

$$\theta = \theta_0 \frac{\cosh[m(H-x)]}{\cosh(mH)}$$



当 $m$ 一定时，随着 $H$ 增大，散热量开始时增加迅速，后来增量变小，逐渐趋于一渐近值（增加肋高的经济性<sup>3)</sup>）

## 2、肋片效率

**定义：**肋片的实际散热量 $\Phi$ 与假设整个肋片都具有肋基温度时的理想散热量 $\Phi_0$ 之比

$$\eta_f = \frac{\Phi}{\Phi_0} = \frac{PHh(t_m - t_\infty)}{PHh(t_0 - t_\infty)} = \frac{\theta_m}{\theta_0}$$

式中 $t_m$ 、 $\theta_m$ 分别为肋面的平均温度和平均过余温度， $t_0$ 、 $\theta_0$ 分别为肋基温度与肋基过余温度。

由于 $\theta_m < \theta_0$ ，所以肋片效率 $\eta_f$ 小于1。

求解过程设肋表面各处 $h$ 都相等，等截面直肋的平均过余温度可按下式计算：

$$\theta_m = \frac{1}{H} \int_0^H \theta dx = \frac{1}{H} \int_0^H \theta_0 \frac{\cosh[m(H-x)]}{\cosh(mH)} dx = \frac{\theta_0}{mH} \tanh(mH)$$

$$\Rightarrow \eta_f = \frac{\tanh(mH)}{mH}$$

可见，肋片效率是 $mH$ 的函数。



矩形和三角形肋片效率随 $mH$ 的变化规律如图。  
 $mH$ 愈大，肋片效率愈低。

影响肋片效率的因素：

$$mH = \sqrt{\frac{2h}{\lambda\delta}} \cdot H$$

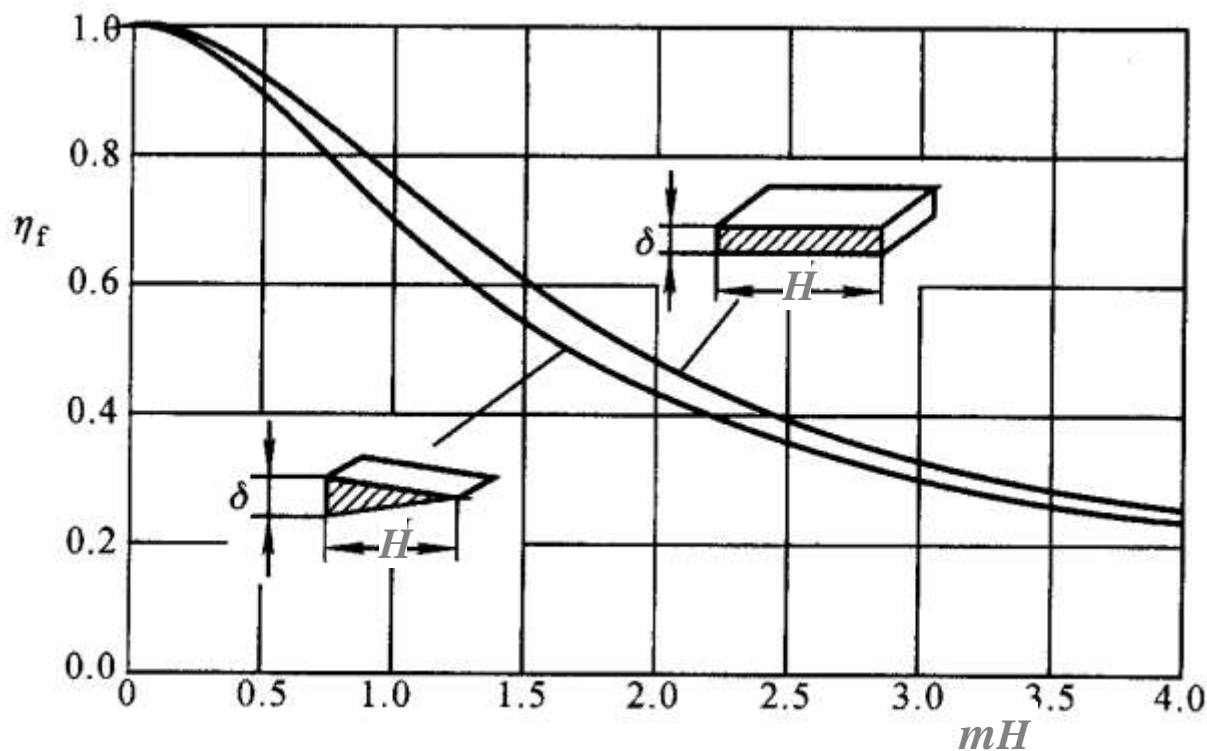
(1) 肋片材料的热导率  $\lambda$ ,  $\lambda \uparrow \eta_f \uparrow$

(2) 肋片高度  $H$ ,  
 $H \uparrow \eta_f \downarrow$

(3) 肋片厚度  $\delta$ ,  $\delta \uparrow \eta_f \uparrow$

(4) 肋片与周围流体间对流传热的表面传热系数  $h$ ,

$$h \uparrow \eta_f \downarrow$$



Q: 为什么实际应用采用薄而高的肋片?

## 几点说明:

(1) 上述分析结果同样适用于其它形状的等截面直肋, 如圆柱、圆管形肋的一维稳态导热问题;

(2) 如果必须考虑肋端面的散热, 可以将肋端面面积折算到侧面上去, 相当于肋加高为 $H+\Delta H$ , 其中

$$\Delta H = \frac{A}{P} \quad \text{对于矩形肋, } \Delta H \approx \frac{\delta}{2}$$

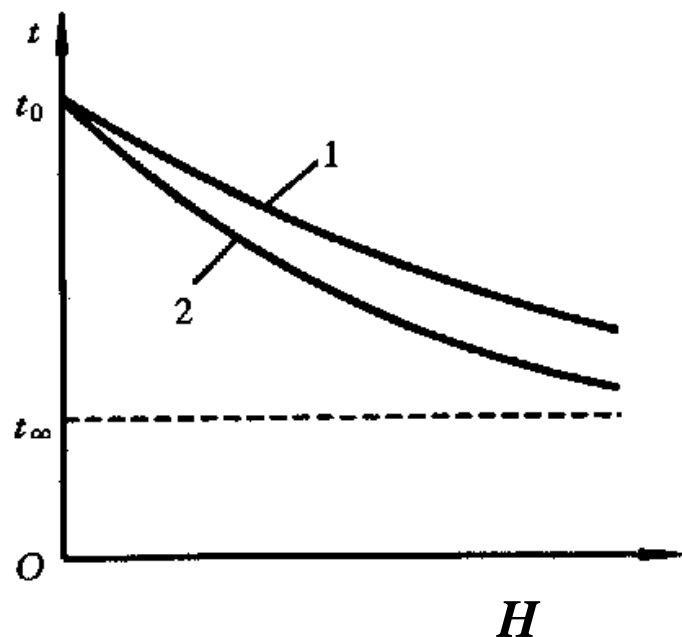
(3) 上述分析结果既适用于肋片被加热的情况, 也适用于肋片被冷却的情况;

(4) 肋片厚度方向的导热热阻 $\delta/\lambda$ 与表面的对流换热热阻 $1/h$ 相比不可忽略的情况, 肋片导热不能认为是一维的, 上述公式不再适用。  $Bi=h\delta/\lambda<0.05$ 时, 误差小于1%

(5) 上述推导没有考虑辐射换热的影响, 对一些温差较大或表面传热系数较小的场合, 必须加以考虑。

## 例

两几何尺寸相同的等截面直肋，在相同的对流环境下，沿肋高方向的温度分布曲线如图，请判断两种材料导热系数的大小及肋效率的高低。



**解：**对一维肋，导热系数越高，沿肋方向的热阻越小，因而沿肋高方向的温度变化越小。因此，曲线1对应的是导热系数大的材料，曲线2对应导热系数小的材料。由肋效率的定义，由于1平均温度高，故肋效率高于曲线2对应的肋效率。